

Лабораторная работа № 44

## ИЗУЧЕНИЕ ПОЛУПРОВОДНИКОВОГО ДИОДА

### 1. ЦЕЛЬ РАБОТЫ

Изучить физические процессы в *p-n*-переходе при равновесии и в смещенном состоянии, исследовать вольт-амперную характеристику и определить параметры полупроводникового диода.

#### ***p-n*-ПЕРЕХОД И ЕГО ЭНЕРГЕТИЧЕСКАЯ ЗОННАЯ ДИАГРАММА В СОСТОЯНИИ РАВНОВЕСИЯ**

1. Полупроводниковый «плоскостной» диод [1, с. 221; 2, с. 212] представляет собой тонкую (менее 0,1 мм) монокристаллическую пластинку германия Ge или кремния Si, содержащую два слоя, один из которых имеет дырочную (*p*-типа), а второй – электронную (*n* – типа) проводимость, как показано на рис. 1.

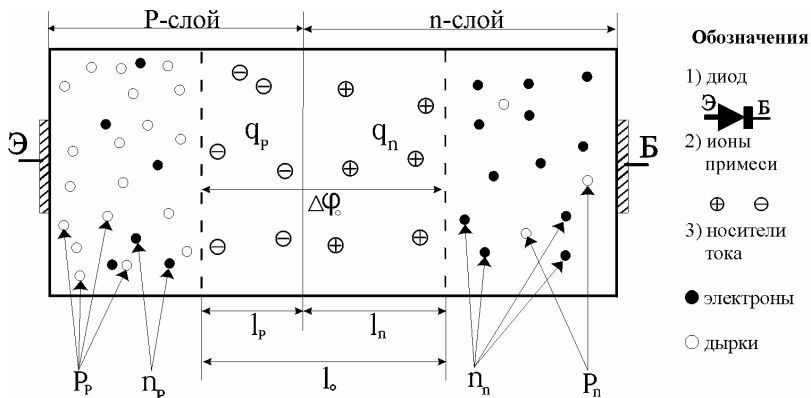


Рис. 1

Эти два слоя разделены плоской и резкой границей, по обе стороны которой спонтанно формируется область шириной  $\lambda_0 = \lambda_p + \lambda_n \approx 0,5$  мкм, практически не содержащая носителей тока – дырок в *p*-слое и свободных электронов в *n*-слое. Проводимость ее очень мала. Она называется *p-n*-переходом (или электронно-дырочным переходом) и является основным элементом полупроводникового диода. В кристалл четырехвалентного Ge (либо Si) вводят примесные атомы: **акцепторы** (трехвалентный индий, бор) для получения *p*-слоя, **доноры** (пятивалентный мышьяк, фосфор или сурьма) для получения *n*-слоя. Концентрация примеси мала (порядка  $10^{-5} \dots 10^{-7}$  %). Ее атомы размещаются в узлах кристалла достаточно далеко друг от друга, чтобы, не испытывая взаимного влияния, иметь один общий энергетический **примесный уровень**. Примесные уровни находятся в «запрещенной» зоне  $\Delta E_3$  полупроводника на «расстоянии»  $\Delta E_A \ll \Delta E_3$  либо от «потолка» валентной зоны (В.З.) в *p*-слое (акцепторный уровень), либо от «дна» зоны проводимости (З.П.) в *n*-слое (донорный уровень). В каждом слое вблизи примесного уровня расположен «уровень Ферми». **Энергия активации** примеси  $\Delta E_A \approx 0,01$  эВ. Ширина запрещенной зоны  $\Delta E_3 = 0,75$  эВ у Ge и  $\Delta E_3 = 1,12$  эВ у Si.

2. Малые значения  $\Delta E_A$  обеспечивают термоактивацию атомов примеси при весьма низких температурах. В *p*-слое акцепторы захватывают недостающий им для связи в узлах решетки

#### Обозначения

- 1) диод
- 2) ионы примеси  
 $\oplus$     $\ominus$
- 3) носители тока  
● электроны  
○ дырки

четвертый электрон у близких атомов Ge (либо Si): из **В.З. полупроводника эти электроны переходят на акцепторный уровень**. Акцепторы становятся отрицательными ионами с зарядом  $q_e = 1,6 \cdot 10^{-19}$  Кл, а в В.З. образуются «дырки примесного происхождения». В *n*-слое доноры освобождают от связи свой «лишний» пятый электрон, **который с донорного уровня переходит в З.П. полупроводника**. Эта зона в *n*-слое частично заполняется электронами примесного происхождения, а доноры становятся положительными ионами с зарядом  $q_e$ .

При повышении температуры кристалла происходит **термогенерация собственных носителей тока** в обоих слоях: электроны из В.З. через  $\Delta E_3$  переходят в З.П. Эти электроны и образовавшиеся дырки в В.З., являются носителями тока. **«Собственные электроны в *p*-слое и «собственные» дырки в *n*-слое – неосновные носители тока.** Любойо происхождения дырки в *p*-слое и свободные (в З.П.) электроны в *n*-слое – **основными носителями тока.**

В рабочем диапазоне температур ( $T < 340$  К для Ge,  $T < 400$  К для Si) концентрация основных носителей много больше концентрации неосновных носителей тока: *p*-слой и *n*-слой имеют характерные примесные свойства. При более высокой температуре эти концентрации примерно одинаковы и полупроводник примесные свойства теряет. Во всем объеме он обладает в основном собственной проводимостью.

Примем следующие обозначения:

Концентрация основных носителей тока:  $P_p$  – дырки в *p*-слое,  $N_n$  – свободные электроны в *n*-слое.

Концентрация неосновных носителей тока:  $n_p$  – свободные электроны в *p*-слое,  $P_n$  – дырки в *n*-слое.

Диффузионные потоки:  $\Delta P_p$  – поток дырок из *p*-слоя,  $\Delta N_n$  – поток электронов из *n*-слоя.

Дрейфовые потоки:  $\Delta N_p$  – поток электронов из *p*-слоя,  $\Delta P_n$  – поток дырок из *n*-слоя,  $\Delta\varphi_0$  – контактная разность потенциалов на *p-n*-переходе.

В рабочем диапазоне температур  $P_p \gg N_p$ ,  $N_n \gg P_n$ .

3. Рассмотрим несимметричный  $p$ - $n$ -переход, при котором концентрация акцепторов  $N_A$  и концентрация доноров  $N_d$  неодинаковы. Такой переход обычно формируют в полупроводниковых диодах. Например, пусть  $N_A = 100\dots 1000 N_d$ . Тогда при активации примеси  $P_p \gg N_n$ . Низкоомный  $p$ -слой, содержащий много основных носителей тока, называют эмиттером ( $\mathcal{E}$ ), а более высокоомный  $n$ -слой – базой ( $B$ ).

Из «закона действующих масс» следует, что  $P_p N_p = N_n P_n$ . Так как  $P_p \gg N_n$ , то  $P_n \gg N_p$ . Общее соотношение концентраций носителей тока  $P_p \gg N_n \gg P_n \gg N_p$ .

На границе между  $p$ -слоем и  $n$ -слоем имеется большая разность концентрации и дырок, и свободных электронов. Вследствие теплового движения этих частиц происходит спонтанный процесс диффузии и дырок, и электронов через границу между слоями.

Диффузионный поток  $\Delta P_p$  дырок из  $p$ -слоя, проходя в  $n$ -слой, на участке  $\ell_n$  встречается со свободными электронами. Процесс рекомбинации уничтожает эти носители тока. Остаются донорные ионы, создающие объемный заряд  $q_n = q_e N_d \ell_n S$ , где  $S$  – площадь поперечного сечения полупроводника. Аналогично после рекомбинации диффузионного потока  $\Delta N_n$  электронов из  $n$ -слоя и дырок  $p$ -слоя на участке  $\ell_p$  этого слоя остаются акцепторные ионы, создающие заряд  $q_p = -q_e N_A \ell_p S$ . Так образуется  $p$ - $n$ -переход шириной  $\ell_o = \ell_p + \ell_n$ , лишенный носителей тока и содержащий объемные заряды ионов  $q_p$  и  $q_n$ . Он обладает очень большим сопротивлением.

Так как  $q_p = -q_n$ , то  $N_A \ell_{p_o} = N_d \ell_n$ . При несимметричном  $p$ - $n$ -переходе ( $N_A \gg N_d$ ) имеем  $\ell_p \ll \ell_n$ . Таким образом,  $\ell_o \approx \ell_n$  и  $p$ - $n$ -переход размещен в основном в высокоомной базе.

4. При некоторой постоянной температуре  $p$ -слой,  $n$ -слой и переход между ними приходят в состояние равновесия. Особенность этого состояния рассматриваемой системы определяется тем, что для всего объема полупроводника в равновесном состоянии уровень Ферми  $E_F$  имеет одинаковое значение. Исходя из

этого «принципа горизонтальности уровня Ферми» строится энергетическая зонная диаграмма системы, показанная на рис. 2. При ее построении учитывается, что в  $p$ -слое уровень Ферми всегда находится вблизи валентной зоны, а в  $n$ -слое он расположен вблизи зоны проводимости.

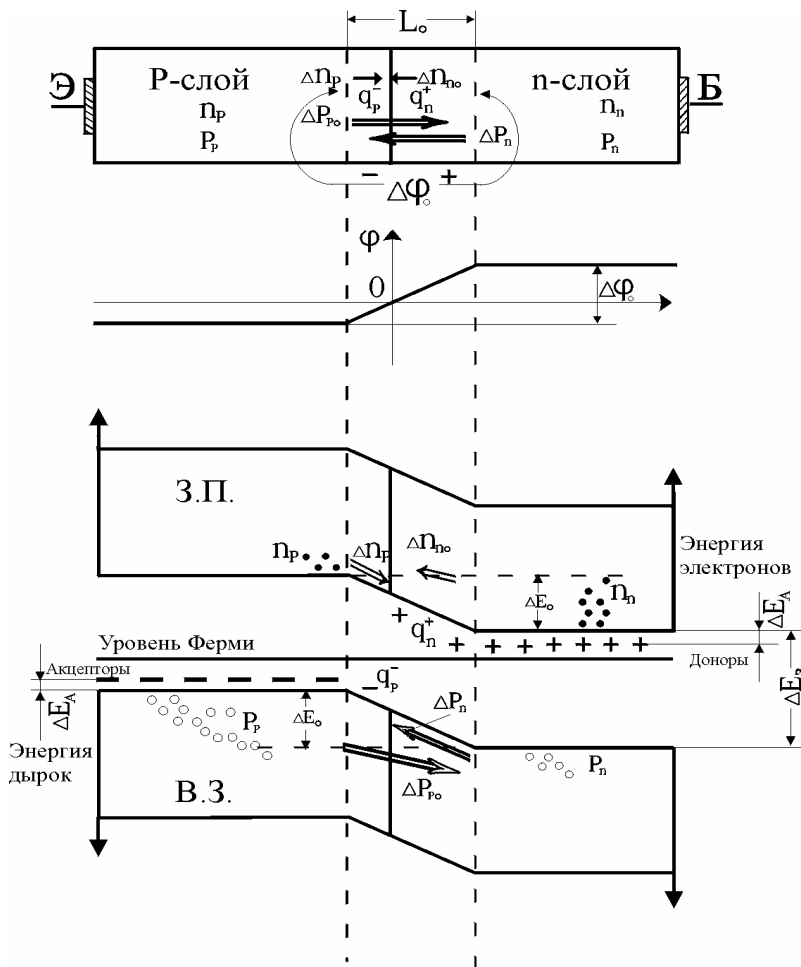


Рис. 2

Относительно «горизонтального», общего для всего объема уровня Ферми, строятся валентная зона и зона проводимости, которые в области  $p$ - $n$ -перехода оказываются «наклонными».

«Наклонная» В.З. для дырок  $p$ -слоя создает при их переходе в  $n$ -слой потенциальный барьер  $\Delta E_o$ . Такой же барьер в ЗП создается для электронов  $n$ -слоя. Энергия дырок на диаграмме увеличивается «вниз», а электронов – «вверх». Переход дырок из  $p$ -слоя в  $n$ -слой требует увеличения их энергии. Дырки же  $n$ -слоя, оказавшиеся у границы  $p$ - $n$ -перехода, беспрепятственно, уменьшая свою энергию, направленно движутся (дрейфуют) в  $p$ -слой.

Потенциальный барьер определяется в равновесном состоянии контактной разностью потенциалов  $\Delta\varphi_o$ , создаваемой объемными зарядами  $q_p$  и  $q_n$  ионов в  $p$ - $n$ -переходе. Высота барьера

$$\Delta E_o = q_e \cdot \Delta\varphi_o, \text{ширина } (p\text{-}n\text{-перехода}) - \ell_o \approx \sqrt{\Delta\varphi_o}.$$

Так как дырочный газ в валентной зоне – невырожденный, его концентрация при  $T = \text{const}$  распределяется по закону Больцмана:

$$P_n = P_p e^{-\frac{\Delta E_o}{kT}},$$

где  $k = 1,38 \cdot 10^{-23}$  Дж/К. Следовательно, равновесная концентрация дырок  $P_p$  в  $p$ -слое и  $P_n$  в  $n$ -слое неодинакова.

Из предыдущей формулы получим:

$$\Delta E_o = kT \ln \frac{P_p}{P_n}. \quad (1)$$

При  $T = 300$  К  $\Delta E_o \approx 0,35$  эВ ( $\Delta\varphi_o = 0,35$  В) для Ge и  $\Delta E_o \approx 0,65$  эВ ( $\Delta\varphi_o \approx 0,65$  В) для Si.

В равновесном состоянии вследствие  $P_p \gg P_n$  **диффузионный поток дырок**  $\Delta P_{po}$  не исчезает, но компенсируется встречно направленным **дрейфовым потоком**  $\Delta P_n$  дырок:  $\Delta P_{po} = \Delta P_n$ . Величина дрейфового потока не зависит от потенциального барьера  $\Delta E_o$ , но определяется концентрацией  $P_n$  дырок – неосновных носителей тока в  $n$ -слое. Она существенно зависит от температуры полупроводника. При постоянной температуре  $\Delta P_n = \text{const}$ .

Для зоны проводимости картина диффузионного и дрейфового потоков электронов аналогична рассмотренной. Ввиду малости этих потоков при несимметричном *p-n*-переходе в дальнейшем их можно не рассматривать.

### ПРЯМОЕ СМЕЩЕНИЕ *p-n*-ПЕРЕХОДА

5. Разность потенциалов  $\Delta\varphi$  на границах *p-n*-перехода можно изменять относительно «контактной» разности потенциалов  $\Delta\varphi_o$  с помощью внешнего напряжения, подаваемого на клеммы Э и Б полупроводниковой системы.

Если напряжение  $U$  приложено так, что  $\Delta\varphi < \Delta\varphi_o$ , оно называется напряжением прямого смещения *p-n*-перехода или прямым напряжением на полупроводниковом диоде. В рассматриваемом здесь случае полярность прямого напряжения должна иметь «плюс» на Э и «минус» на Б.

При прямом смещении *p-n*-перехода по сравнению с равновесными значениями уменьшаются разность потенциалов  $\Delta\varphi$ , высота  $\Delta E$  и ширина  $\ell$  потенциального барьера.

$$\left. \begin{aligned} \Delta\varphi &= \Delta\varphi_o - U \\ \Delta E &= q_e \Delta\varphi - \Delta E_o - q_e U \\ \ell &= \ell_o \sqrt{\Delta\varphi / \Delta\varphi_o} = \ell_o \sqrt{1 - U / \Delta\varphi_o} \end{aligned} \right\} \quad (2)$$

а также на  $\Delta E_F = q_e U$  уровень Ферми  $E_{Fn}$  в *n* – слое смещается «вверх» на зонной диаграмме относительно уровня Ферми  $E_{Fp}$  в *p*-слое. Неравенство  $E_{Fp} > E_{Fn}$  означает, что система прямым напряжением  $U$  выведена из состояния равновесия при неизменной температуре. Такой процесс «энергетического смещения» при  $T = \text{const}$  сохраняет в *p*-слое и в *n*-слое равновесное положение валентной зоны ВЗ и зоны проводимости ЗП относительно соответствующего уровня Ферми. На зонной диаграмме ВЗ и ЗП в *n*-слое вместе с  $E_{Fn}$  смещается «вверх», как это показано на рис. 3.

6. При «прямом смещении» и при  $T = \text{const}$  концентрация неосновных носителей – дырок в *n*-слое  $P_n$  и дрейфовый поток  $\Delta P_n$  дырок из *n*-слоя практически остаются такими же, как и в состоянии равновесия.

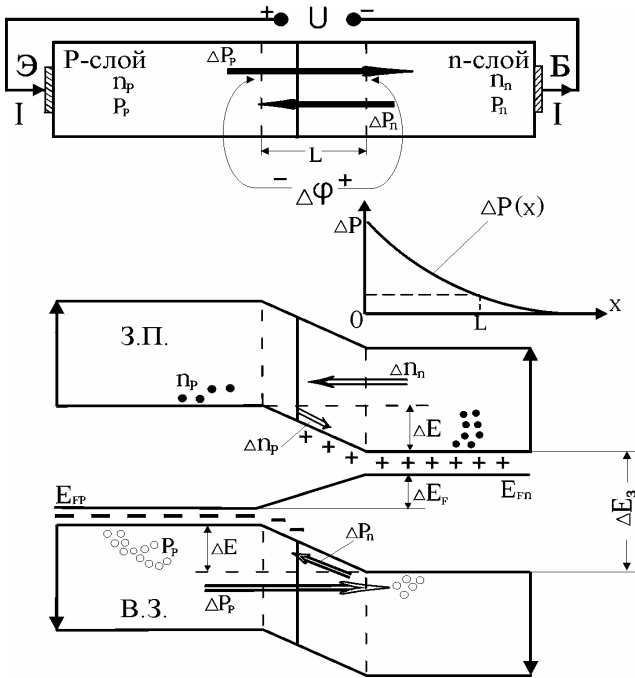


Рис. 3

Диффузионный же поток дырок  $\Delta P_p$  из  $p$ -слоя, зависящий от высоты  $\Delta E$  барьера, существенно возрастает по сравнению с равновесным значением:  $\Delta P_p >> \Delta P_{po}$ . В  $n$ -слое за счет этого потока появляются «избыточные неосновные носители тока» – дырки. Этот процесс нагнетания из эмиттера в базу неосновных носителей называют инжекцией. На границе  $p$ - $n$ -перехода ( $x = 0$  на рис. 3) концентрация «избыточных дырок»  $\Delta P_o = \Delta P_p - \Delta P_n$  максимальна. Эти дырки дифундируют в  $n$ -слой и по причине рекомбинации с имеющимися в этом слое свободными электронами уменьшают свою концентрацию по закону

$$\Delta P(x) = \Delta P_o e^{-\frac{x}{L}} = P_n \left( e^{\frac{q_e U}{kT}} - 1 \right) e^{-\frac{x}{L}}, \quad (3)$$

где  $L \approx 0,1$  мм – «диффузионная длина» дырок в  $n$ -слое, при которой  $\Delta P(x = L) < \Delta P_o$  в  $e = 2,7$  раз,  $k = 1,38 \cdot 10^{-23}$  Дж/К.

Рекомбинационное уменьшение свободных электронов в  $n$ -слое компенсируется их притоком из внешней цепи под действием источника «прямого» напряжения. Соответственно, инжеекция дырок из эмиттера в  $p$ -слой компенсируется оттоком электронов во внешнюю цепь, что эквивалентно «притоку» дырок из этой цепи.

Диффузионный дырочный ток на границе ( $x = 0$  на рис. 3)  $p$ - $n$ -перехода с  $n$ -слоем определяется законом диффузии:

$$I = q_e D_p S \frac{d[\Delta P(x)]}{d x} \Big|_{x=0}, \quad (4)$$

где  $D_p$  – коэффициент диффузии дырок в  $n$ -слое.

Подставляя  $\Delta P(x)$  из (3) и находя производную, получаем при  $x = 0$  формулу прямого тока через  $p$ - $n$ -переход:

$$I = I_{op} \begin{pmatrix} \frac{q_e U}{kT} \\ e^{\frac{q_e U}{kT}} - 1 \end{pmatrix}, \quad (5)$$

где  $I_{op} = q_e D_p S P_n / L$  – «тепловой ток» дырок, зависящий от температуры вследствие термогенерации дырок в  $n$ -слое и от ширины запрещенной зоны  $\Delta E_3$  полупроводника. При  $T = 300$  К для Ge  $I_{op} \approx 1$  мкА, для Si  $I_{op} \approx 10^{-7}$  мкА.

Прямое напряжение смещения, исходя из требования  $\Delta\varphi = \Delta\varphi_o - U > 0$ , ограничивается условием  $U < \Delta\varphi_o$ . Прямой ток нормируется по допустимой мощности, выделяющейся при нагревании полупроводника, и для диодов средней мощности  $I_{max} \approx 0,5$  А. Так как ширина  $p$ - $n$ -перехода при прямом смещении мала, его сопротивление незначительно.

**Примечание:** Если  $p$ - $n$ -переход симметричный, аналогичным образом рассматриваются электронные потоки в зоне проводимости, инжеекция электронов из  $n$ -слоя, диффузионный электронный ток, соответствующий формуле (4), но содержащий тепловой ток электронов  $I_{on}$ . Прямой ток является суммой дырочного и электронного токов.

## ОБРАТНОЕ СМЕЩЕНИЕ $p$ - $n$ -ПЕРЕХОДА

7. Напряжение смещения  $U'$  называют обратным напряжением, если оно приложено к клеммам Э и Б так, что  $\Delta\varphi > \Delta\varphi_o$ . На рис. 4 полярность этого напряжения имеет «плюс» на Б и «минус» на Э.

При обратном смещении  $p$ - $n$ -перехода возрастают по сравнению с равновесными значениями разность потенциалов, высота и ширина потенциального барьера:

$$\left. \begin{aligned} \Delta\varphi &= \Delta\varphi_o + U' \\ \Delta E = q_e \Delta\varphi &= \Delta E_o + q_e U' \\ \ell &= \ell_o \sqrt{\Delta\varphi / \Delta\varphi_o} = \ell_o \sqrt{1 + U' / \Delta\varphi'_o} \end{aligned} \right\}, \quad (6)$$

а также на  $\Delta E_F = q_e U'$  смещается вниз на зонной диаграмме уровень Ферми  $E_{Fn}$  относительно уровня Ферми  $E_{Fp}$ .

Напряжением  $U'$  система выведена из состояния равновесия ( $E_{Fn} < E_{Fp}$ ) при неизменной температуре. Равновесные значения концентрации основных и неосновных носителей тока в  $p$ -слое и в  $n$ -слое сохраняются. Неизменным остается и положение ВЗ и ЗП относительно уровней Ферми в каждом слое. Вместе с уровнем Ферми смещаются «вниз» относительно  $p$ -слоя В.З. и З.П.  $n$ -слоя, как показано на зонной диаграмме (рис. 4).

8. При обратном смещении и при  $T = \text{const}$  дрейфовый поток  $\Delta P_n$  дырок из  $n$ -слоя остается таким же, как и в состоянии равновесия.

Диффузионный же поток дырок  $\Delta P_p$  из  $p$ -слоя ввиду увеличения высоты  $\Delta E$  потенциального барьера ( $\Delta E > \Delta E_o$ ) существенно уменьшается по сравнению с равновесным значением:  $\Delta P_p \ll \Delta P_{po}$ .

Преимущественный дрейфовый переход дырок из  $n$ -слоя в  $p$ -слой (экстракция, или отсос дырок из базы) создает в  $n$ -слое вблизи его границы с  $p$ - $n$ -переходом «дефицит дырок», распространяющийся по мере удаления от границы (вдоль оси  $X$ ) в соответствии с формулой:

$$\Delta P'(x) = \Delta P'_o e^{-\frac{x}{L}} = P_n \left( e^{-\frac{q_e U'}{kT}} - 1 \right) e^{-\frac{x}{L}}, \quad (7)$$

где максимальное значение «дефицита» (при  $X = 0$ )  $\Delta P'_o = \Delta P_p - \Delta P_n < 0$ .

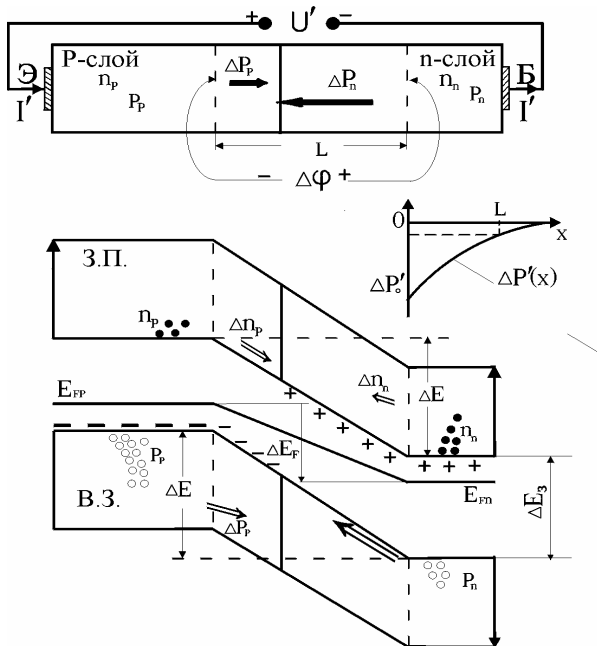


Рис. 4

Дырки, покидающие  $n$ -слой, компенсируются притоком их из глубины  $n$ -слоя, что эквивалентно оттоку свободных электронов во внешнюю цепь через клемму Б. В  $p$ -слое сверхравновесные дырки, проникшие через  $p$ - $n$ -переход, компенсируются рекомбинацией их с электронами, поступающими из внешней цепи через клемму Э.

Дрейфовый дырочный ток на границе  $p$ - $n$ -перехода с  $n$ -слоем определяется формулой (4), подставляя в которую (7), получаем для обратного тока через  $p$ - $n$ -переход

$$I' = I_{op} \left( e^{\frac{-q_e U'}{kT}} - 1 \right), \quad (8)$$

где тепловой дырочный ток  $I_{op}$  соответствует рассмотренному в (5). Обратное напряжение  $U'$  ограничивается электрической прочностью кристалла и может быть достаточно большим (30...100 В).

Даже при не очень больших напряжениях  $U'$  в (8) экспоненциальная часть много меньше единицы, и ею можно пренебречь. Поэтому  $I' \approx -I_{op} = \text{const}$  при данной температуре и разных значениях  $U' >> 0$ . Температурная зависимость тока  $I'$  весьма существенна.

Ввиду большой ширины  $\ell$   $p-n$ -перехода сопротивление обратно смещенного перехода очень велико.

### ВОЛЬТ-АМПЕРНАЯ ХАРАКТЕРИСТИКА ПОЛУПРОВОДНИКОВОГО ДИОДА

Формулы (5) и (8) определяют вольт-амперные характеристики (ВАХ) полупроводникового диода при прямом  $I = f(U)$  и при обратном  $I' = f(U')$  смещениях. В первом случае ВАХ имеет большую крутизну: при малом изменении прямого напряжения ток диода изменяется резко. Для экспериментального исследования ВАХ в этом случае проще и точнее устанавливать величину тока, а напряжение, полученное на диоде, измерять. Для этого в качестве источника необходимо применять «генератор тока». ВАХ при обратном включении диода: даже при больших изменениях напряжения ток изменяется незначительно. В этом случае предпочтительнее для установки напряжения на диоде использовать «генератор напряжений», а ток диода измерять.

ВАХ полупроводникового диода показана на рис. 5 для прямого и обратного смещений. Здесь же приведен пример практического применения полупроводникового диода для выпрямления переменного тока, когда на диод подается переменное напряжение.

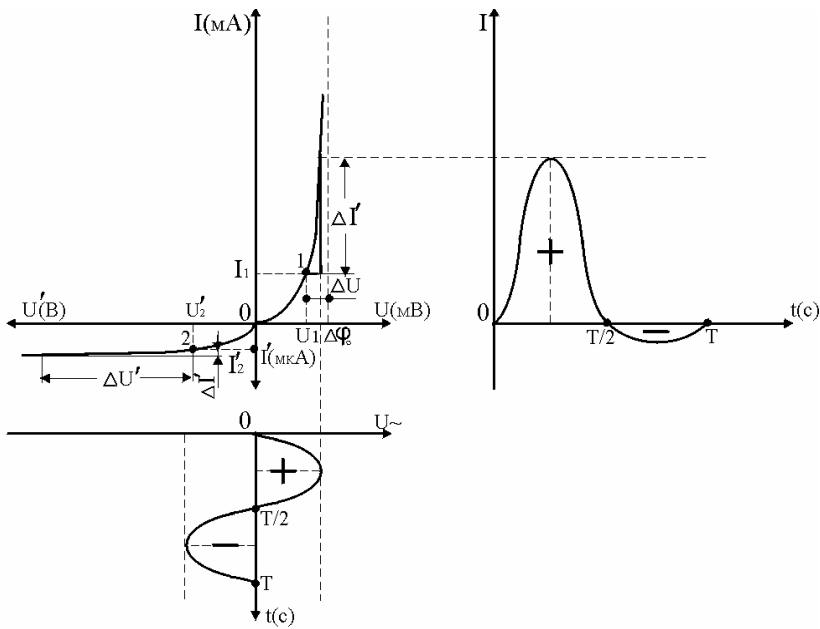


Рис. 5

Важнейшими характеристиками диода являются его прямое и обратное сопротивления.

#### Статические сопротивления:

$$R = \frac{U'}{I'} \quad R' = \frac{U_2^1}{I_2^1}. \quad (9)$$

#### Динамические сопротивления:

$$R_d = \frac{\Delta U}{\Delta I} \quad R'_d = \frac{\Delta U'}{\Delta I'}. \quad (10)$$

Динамические сопротивления проявляются при подключении к диоду источников переменного напряжения и используются для расчета цепей переменного тока.

## СХЕМА ЭКСПЕРИМЕНТАЛЬНОЙ УСТАНОВКИ

Для исследования и построения ВАХ полупроводникового диода схема экспериментальной установки имеет два варианта, показанные на рис. 6, один из которых для прямого включения, второй – для обратного включения диода. На рис. 6 обозначены: Д – исследуемый диод; ГТ – генератор тока; ГН – генератор напряжения, а также вольтметры и амперметры.

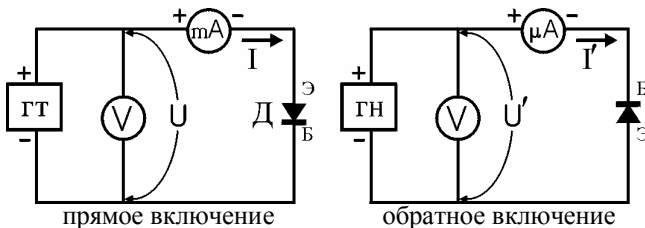


Рис. 6

## ЗАДАНИЕ К РАБОТЕ

1. Перед выполнением работы изучить вводную часть настоящего описания.
2. Собрать установку по соответствующей схеме прямого, а затем обратного включения диода, указанной на рабочем месте.
3. Получить данные для построения прямой ветви ВАХ, задаваясь разными значениями прямого тока на ГТ и измеряя соответствующие значения прямого напряжения на диоде.
4. Исследовать при заданном значении прямого тока зависимость прямого напряжения на диоде от температуры:  
$$U = f(T)_{I=\text{const}}$$
.
5. Получить данные для построения обратной ветви ВАХ, задаваясь разными значениями обратного напряжения на ГН и измеряя соответствующие значения обратного тока диода.
6. Исследовать при заданном значении обратного напряжения зависимость обратного тока диода от температуры  
$$I' = f(T)_{U'=\text{const}}$$
.
7. Построить на графике (см. рис. 5) ВАХ для прямой и обратной ветвей. При этом следует выбрать соответствующие масштабы тока и напряжения на осях координат.

8. Построить графики зависимостей по п. 4 и 6.
9. С помощью ВАХ (для участков, близких к прямолинейным) определить статические и динамические сопротивления диода.

### КОНТРОЛЬНЫЕ ВОПРОСЫ

1. Устройство полупроводникового диода.
2. Прямое и обратное включение диода; охарактеризовать прямое и обратное напряжения, прямой и обратный ток диода.
3. Выбор измерительных приборов для схем прямого и обратного включения диода. ВАХ полупроводникового диода.
4. Охарактеризовать температурные зависимости прямого и обратного токов диода, рабочий диапазон температур.
5. Основные и неосновные носители тока в полупроводниках  $p$ -типа и  $n$ -типа, способ получения этих носителей.
6. Формирование несимметричного  $p$ - $n$ -перехода, его особенности.
7. Равновесное состояние  $p$ - $n$ -перехода и равновесная энергетическая зонная диаграмма.
8. Диффузионные и дрейфовые потоки через  $p$ - $n$ -переход, причины их возникновения, особенности и равновесные значения.
9. Ширина  $p$ - $n$ -перехода и ее влияние на сопротивление перехода.
10. Контактная разность потенциалов, высота потенциального барьера на  $p$ - $n$ -переходе и ее влияние на диффузионный и дрейфовый потоки.
11. Прямое и обратное смещения  $p$ - $n$ -перехода, энергетические зонные диаграммы.
12. Причины образования прямого и обратного токов через  $p$ - $n$ -переход, инжекция и экстракция носителей тока.
13. Процессы диффузии носителей тока в  $p$ -слое и в  $n$ -слое. Диффузионная длина носителей тока.
14. Чем отличаются ВАХ и температурные характеристики германиевого и кремниевого диодов.
15. Выпрямляющее действие диода.

### РЕКОМЕНДУЕМАЯ ЛИТЕРАТУРА

1. Савельев И.В. Курс общей физики. – М.: Наука, 1979. – Т. 3 и другие издания этого курса.
2. Епифанов Г.И. Физика твердого тела. – М.: Высшая школа, 1965, 1977.